

*Список использованных источников*

1. Самарский А.А. Теория разностных схем. М.: Наука. 1983.-616.
2. Силадьи М. Электронная и ионная оптика. М.: Мир, 1990.-639с.
3. Г.А. Гринберг. Избранные вопросы математической теории электрических и магнитных явлений. М.-Л.: АН СССР, 1948
4. Галиулин А.С. Методу решения обратных задач динамики. -М.: Наука, 1986.-224с.

## ИСТОЧНИКИ ПЫЛЕВЫХ ПОТОКОВ МИКРОЧАСТИЦ НА ОСНОВЕ ВЗРЫВЧАТЫХ ВЕЩЕСТВ

Барышев Е.Ю., Воронов К.Е., Семкин Н.Д.

Натурные эксперименты по воздействию потоков пылевых микрочастиц на приборы и элементы конструкций космических аппаратов осуществляются с помощью генераторов потоков на основе взрывчатых веществ, т.к. данный метод является наиболее дешевым в реализации. Для обработки результатов измерения необходимы сведения о характеристиках получаемых при этом потоков.

Рассмотрим модель взрывного источника потоков пылевых частиц. Не претендуя на строгую постановку, решим задачу ускорения пылевой частицы в процессе расширения образующегося при взрыве газа. Пусть в момент времени  $t=t_0$  имеется сферически симметричный газовый сгусток с плотностью  $\rho$ , радиуса  $R_0$ , граница которого движется со скоростью  $u_0 = \text{const}$ . Для простоты расчетов профиль плотности по сгустку берем постоянным, профиль скорости по сгустку – линейным. Плотность  $\rho$  газа падает по кубическому закону  $\rho = \rho_0(t_0/t)^3$ . В момент  $t=t_0$  частица находится на границе сгустка и имеет начальную радиальную скорость  $V_{r0} = u_0$ . Сила давления газа направлена по радиусу, так что частица ускоряется в строго радиальном направлении. Пылевая частица считается сферической. В соответствии с принятой моделью уравнение Ньютона запишется в виде:

$$m_r \frac{d^2 r}{dt^2} = \rho_0 \left( \frac{t_0}{t} \right)^3 \left( \frac{r}{t} - \dot{r} \right)^2 \frac{\pi R_r^2}{2}, \quad (1)$$

где  $t$  – текущее время,  $r$  – координата частицы,  $m_r$  – масса частицы,  $R_r$  – радиус частицы.

Начальные условия ( $t=t_0$ ) для выражения (1) таковы:

$$r(0) = r_0, \quad \dot{r}(0) = V_{r0}. \quad (2)$$

Введем переменные  $y = r/R_0$ ,  $x = t/t_0$ , где  $R_0 = u_0 t_0$  – начальный радиус

газового облака ВВ. Тогда уравнение (1) можно записать в виде:

$$y'' = k \left( \frac{y}{x} - y' \right)^2 \frac{1}{x^3}, \quad (3)$$

где 
$$k = \frac{t_0^2}{R_0} \frac{\rho_0}{2m} \frac{R_0^2}{t_0^2} \pi R_r^2$$

Начальные условия ( $x=1$ ):  $y=y_0, \quad y'(1) = \frac{V_{r0}}{u_0}$

Если учесть, что  $m = \frac{4}{3} \pi \rho_r R_r^3$  ( $\rho_r$  — плотность частицы), то

$$k = \frac{3 \rho_0 R_0}{8 \rho_r R_r} = \frac{3}{8} \frac{m}{m_r} \left( \frac{R_r}{R_0} \right)^2. \quad (4)$$

Делая замену  $y=x \eta(\xi), \quad \xi = \ln x$  получим уравнение

$$\eta'' - k e^{-2\xi} (\eta')^2 + \eta' = 0 \quad (5)$$

с начальными условиями ( $\xi=0$ ):

$$\eta(0) = y_0, \quad \eta'(0) = -y_0 + \frac{V_{r0}}{u_0} \quad (6)$$

Обозначим  $u = \eta'$ . Тогда уравнение (6) преобразуется к уравнению Бернулли относительно переменных  $u$  и  $\xi$ .

$$u' + u - k e^{-2\xi} u^2 = 0 \quad (7)$$

Начальные данные ( $\xi=0$ ):  $u(0) = \frac{V_{r0}}{u_0} - y_0$ .

Делая замену  $z = u^{-1}$ , получаем линейное уравнение первого порядка

$$z' - z + k e^{-2\xi} = 0 \quad (8)$$

с начальными данными ( $\xi=0$ ):  $z(0) = \frac{1}{\frac{V_{r0}}{u_0} - y_0}$ .

Как известно, решение уравнения (8) имеет вид:

$$z(\xi) = e^{-F} \left( \frac{1}{\frac{V_{r0}}{u_0} - y_0} - k \int_0^\xi e^F e^{-2\xi} d\xi \right). \quad (9)$$

где  $F(\xi) = \int_0^{\xi} d\xi = -\xi$  Таким образом

$$z(\xi) = e^{\xi} \left( \frac{1}{\frac{V_{r0}}{u_0} - y_0} - k \int_0^{\xi} e^{-3\xi} d\xi \right) = \quad (10)$$

$$= e^{\xi} \left( \frac{1}{\frac{V_{r0}}{u_0} - y_0} - \frac{k}{3} (1 - e^{-3\xi}) \right)$$

Так как  $\xi = \ln x$ , то

$$z(x) = x \left( \frac{1}{\frac{V_{r0}}{u_0} - y_0} - \frac{k}{3} \left( 1 - \frac{1}{x^3} \right) \right) \quad (11)$$

$$u(x) = \frac{1}{x \left( \frac{1}{\frac{V_{r0}}{u_0} - y_0} - \frac{k}{3} \left( 1 - \frac{1}{x^3} \right) \right)} \quad (12)$$

Так как  $\frac{d\eta}{d\xi} = x \frac{d\eta}{dx}$ , то

$$\eta(x) = \int_1^x \frac{x dx}{\frac{k}{3} - \left( \frac{k}{3} - \frac{1}{\frac{V_{r0}}{u_0} - y_0} \right) x^3} + y_0 \quad (13)$$

Обозначим  $\frac{k}{3} \equiv a^3$ ,  $\frac{k}{3} - \frac{1}{\frac{V_{r0}}{u_0} - y_0} = c^3$ . тогда (13) можно переписать

В ВИДЕ:

$$\eta(x) = \frac{I}{c^2} \int_c^{cx} \frac{x dx}{a^3 - x^3} + y_0 \quad (14)$$

Используя таблицы интегралов, получим:

$$\eta(x) = \frac{1}{c^2} \left[ \frac{1}{6a} \ln \frac{a^2 + acx + (cx)^2}{a^2 + ac + c^2} \frac{(a-c)^2}{(a-cx)^2} + \frac{1}{\sqrt{3}a} \left( \operatorname{arctg} \frac{2c+a}{a\sqrt{3}} - \operatorname{arctg} \frac{2cx+a}{a\sqrt{3}} \right) \right] + y_0 \quad (15)$$

Таким образом, закон движения частицы имеет вид:

$$y(x) = x \left\{ \frac{1}{c^2} \left[ \frac{1}{6a} \ln \frac{a^2 + acx + (cx)^2}{a^2 + ac + c^2} \frac{(a-c)^2}{(a-cx)^2} + \frac{1}{\sqrt{3}a} \left( \operatorname{arctg} \frac{2c+a}{a\sqrt{3}} - \operatorname{arctg} \frac{2cx+a}{a\sqrt{3}} \right) \right] + y_0 \right\} \quad (16)$$

Скорость частицы определяется из (16)

$$y'(x) = \frac{1}{c^2} \left[ \frac{1}{6a} \ln \frac{a^2 + acx + (cx)^2}{a^2 + ac + c^2} \frac{(a-c)^2}{(a-cx)^2} + \frac{1}{\sqrt{3}a} \left( \operatorname{arctg} \frac{2c+a}{a\sqrt{3}} - \operatorname{arctg} \frac{2cx+a}{a\sqrt{3}} \right) \right] + y_0 + \frac{1}{a^3 - x^3} \quad (17)$$

При  $x \rightarrow \infty$  асимптотическое значение скорости пылевой частицы будет равно:

$$y'_\infty(x) = \frac{1}{c^2} \left[ \frac{1}{6a} \ln \frac{(a-c)^2}{a^2 + ac + c^2} + \frac{1}{\sqrt{3}a} \left( \operatorname{arctg} \frac{2c+a}{a\sqrt{3}} - \frac{\pi}{2} \right) \right] + y_0 \quad (18)$$

Из соотношения (18) следует, что предельная скорость частицы меньше скорости границы облака, образующегося при взрыве.

Преобразуем выражение (18):

$$y_{\infty}'(x) = y_0 - \frac{l}{3ac^2} \left[ \ln \frac{\sqrt{(a+c)^2 - ac}}{c-a} + \sqrt{3} \left( \frac{\pi}{2} - \arctg \frac{2c+a}{a\sqrt{3}} \right) \right] \quad (19)$$

При  $k \rightarrow \infty$  (масса пылинки  $m_r \rightarrow 0$ ) параметры  $a \rightarrow \infty$ ,  $c \rightarrow \infty$ . Вычисляя предел в (19), получим  $y'_{\infty} \rightarrow \infty$ . При  $k \rightarrow 0$  (масса пылинки  $m_r \rightarrow \infty$ ),  $a \rightarrow 0$ ,  $c \rightarrow 1$ ,  $y'_{\infty} \rightarrow 0$ . Таким образом, чем меньше масса, тем больше скорость частицы.

Для изучения характеристик потоков пылевых частиц в условиях космической среды разработан многопараметрический преобразователь с системой измерения [1], который использует четыре наиболее важных физических явления, реализуемых в одном конструктивном исполнении (ионизация, вспышка, люминесценция при высокоскоростном ударе, а также наведения заряда при пролете частиц через цилиндр Фарадея). На рисунке 1 представлены результаты ракетного эксперимента [1], где производился подрыв взрывчатого вещества, смешанного с пылью сплава Вуда (размер частиц 20-40 мкм), подорванного на большой высоте над землей.

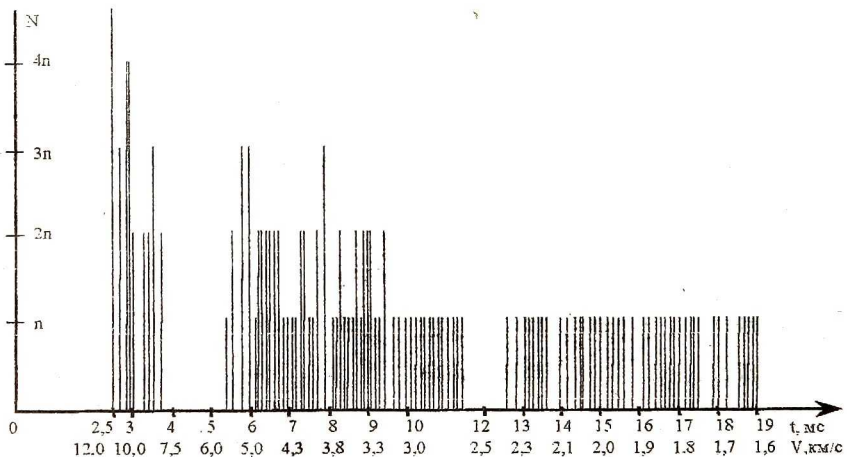


Рисунок 1 — Зависимость числа импульсов с ВЭУ от времени

Регистрация частиц осуществлялась на расстоянии 30 метров от места взрыва с помощью датчика на основе ВЭУ (площадь датчика была 1

см<sup>2</sup>). Здесь показаны данные в порядке их следования в потоке телеметрической информации. На рисунке 2 эти данные обработаны и представлены в виде распределения скоростей частиц.

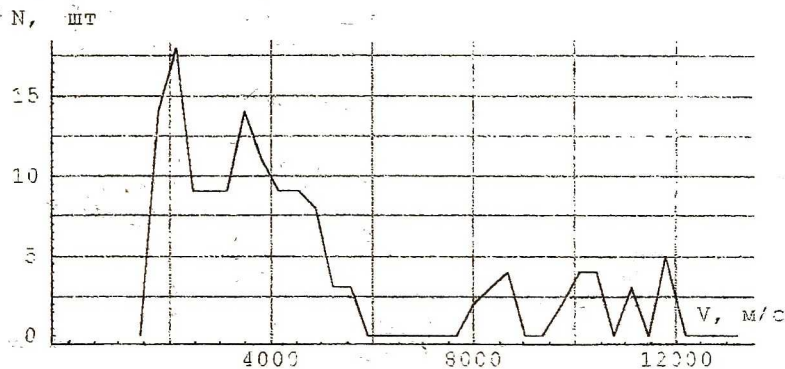


Рисунок 2 – Экспериментальное распределение скоростей частиц

Был проведен расчет распределения скорости по формуле (17) (рис.3). Расчет проводился по следующим данным. Начально частицы распределены равномерно по сфере радиуса 1 м, радиус частиц меняется по нормальному закону со средним значением 30 мкм и дисперсией 10 мкм. Начальные скорости частиц распределены по закону Максвелла [2] в зависимости от удаленности от центра взрыва.

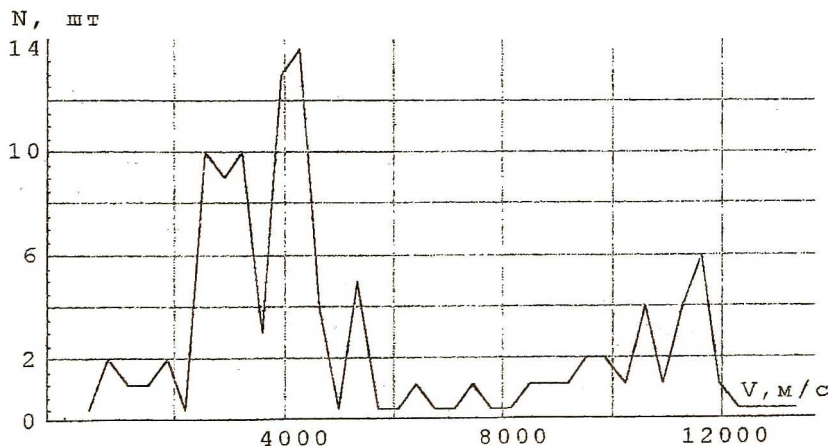


Рисунок 3. Расчетное распределение скоростей частиц на расстоянии 30 метров от источника

Анализируя графики, можно заключить, что построенная упро-

шенная модель довольно хорошо сходится с экспериментом. Некоторый сдвиг максимума распределения примерно на  $1 \text{ км/с}$  можно объяснить малым количеством частиц, попадающих на датчик, - при общем количестве частиц  $10^0$  на датчик падает лишь несколько сотен. Возможно также, что на поток влияет атмосфера, которая в расчетах не учитывается.

#### *Список использованных источников*

1. Моделирование влияния факторов антропогенного загрязнения околоземного космического пространства на элементы конструкций и системы космических аппаратов - Труды всесоюзной научно-практической конференции/Под ред. Ю.И.Портнягина, О.Ф.Клюева и др., М.:Московское отделение гидрометеоздата - 1992.
2. Телеснин Р.В. Молекулярная физика. М.:Высшая школа, 1973.
3. Выгодский М.Я. Справочник по высшей математике. М.: Наука, 1965.
4. Моделирование влияния факторов антропогенного загрязнения околоземного космического пространства на элементы конструкций и системы космических аппаратов - Труды всесоюзной научно-практической конференции/Под ред. Ю.И.Портнягина, О.Ф.Клюева и др., М.:Московское отделение гидрометеоздата - 1992.
5. Телеснин Р.В. Молекулярная физика. М.:Высшая школа, 1973.
6. Выгодский М.Я. Справочник по высшей математике. М.: Наука, 1965.

## **ЭФФЕКТИВНОСТЬ ЭНЕРГОСИСТЕМЫ АВТОНОМНОГО ПОДВИЖНОГО ОБЪЕКТА**

Бакирова С.Я.

Эффективность выполнения задач автономными подвижными объектами зависит от его энерговооруженности, особенно при длительных сроках работы. В качестве энергетических установок на подвижных объектах используются аккумуляторные батареи, топливные элементы, панели солнечных элементов, солнечные концентраторы, радиоизотопные генераторы и другие установки. В большинстве случаев применяется комбинация из этих установок и накопительных элементов. Система энергоснабжения включает в себя основной и вспомогательный источник энергии и преобразователи электрической энергии, зарядные и разрядные устройства для аккумуляторных батарей, устройства защиты и коммутации, каждый из которых имеет свое значение КПД.

Основной источник обеспечивает электропитание при средней мощности, а вспомогательный - при пиковых нагрузках. Для нормального функционирования источников энергии необходимо согласовать режим первичного источника, а также предусмотреть изменение напряжения на выходе аккумуляторных батарей. Для согласования источников и потребителей используют полупроводниковые преобразовательные устройства